

УДК 661.21.243.281+621.926.47

DOI: 10.15372/KhUR20160215

Механохимический синтез безводного тиосульфата натрия

Д. Н. ДЖАРЛЫКАСИМОВА¹, М. М. БУРКИТБАЕВ¹, П. А. ГАЛИЕВА¹, Б. М. УРАЛБЕКОВ¹, Ф. Х. УРАКАЕВ²¹Казахский национальный университет им. аль-Фараби,
проспект аль-Фараби, 71, Алматы 050040 (Казахстан)²Институт геологии и минералогии им. В. С. Соболева Сибирского отделения РАН,
проспект Академика Коптюга, 3, Новосибирск 630090 (Россия)

E-mail: urakaev@igm.nsc.ru

Аннотация

Впервые осуществлен механохимический синтез безводного тиосульфата натрия $\text{Na}_2\text{S}_2\text{O}_3$ путем механической активации стехиометрической порошковой смеси сульфита натрия (Na_2SO_3) и серы (S) в шаровой планетарной мельнице “Активатор-2SL”. С применением методов йодометрического титрования, рентгенофазового и термического анализа установлено, что при относительно мягких условиях механической активации в течение примерно 1 ч степень протекания твердофазной реакции $\text{Na}_2\text{SO}_3 + \text{S} = \text{Na}_2\text{S}_2\text{O}_3$ достигает 95 %.

Ключевые слова: сера, сульфит натрия, механохимический синтез, тиосульфат натрия

ВВЕДЕНИЕ

Тиосульфат натрия имеет свойство разлагаться на сульфит натрия и серу. Впервые монодисперсные сферические наночастицы серы (наносера [1]) были синтезированы из подкисленных растворов $\text{Na}_2\text{S}_2\text{O}_3$ в работах школы Ла Мера [2–4]. Широкий спектр применения наносеры различного размера и фаз [4–9] обусловлен рядом ее уникальных свойств: бактерицидных, противовирусных и противоопухолевых (медицина и биотехнологии), пестицидных и фунгицидных (сельское хозяйство), гидрофобных (строительство), каталитических и аналитических (физико-химия), электрохимических (энергетика).

Актуальность получения наносеры из тиосульфатов многократно возрастает на фоне проблем экологии [10–13] и необходимости утилизации техногенной серы [13–16] в местах нефтегазовых месторождений и их переработки. Наиболее остро эти проблемы стоят перед нефтегазовым комплексом Республики Казахстан [17, 18].

Известен ряд патентов по получению тиосульфатов аммония и щелочных металлов, в том числе и тиосульфата натрия, за счет реакции элементной серы с растворами сульфитов аммония, щелочных и щелочноземельных металлов с применением различных добавок и вариациями температуры процесса [19–25]. Однако ни в одном из них не используются методы механохимии. Как правило, безводные тиосульфаты получают сушкой их кристаллогидратов [26, 27]. Например, безводный тиосульфат натрия ($\text{Na}_2\text{S}_2\text{O}_3$) получают сушкой его пентагидрата ($\text{Na}_2\text{S}_2\text{O}_3 \cdot 5\text{H}_2\text{O}$) [28]. Нами впервые предложен твердофазный механохимический способ получения безводного тиосульфата натрия.

ЭКСПЕРИМЕНТАЛЬНАЯ ЧАСТЬ

Для проведения механической активации (МА) применялась двухбарабанная водоохлаждаемая планетарная мельница “Активатор-2SL” (ООО Машиностроительный завод

“Активатор”, Новосибирск). Основные характеристики мельницы: мощность двигателя 2.2 кВт; планетарный диск диаметром 17 см (радиус планетарного вращения $R = 6.28$ см) с регулируемой угловой скоростью $|\omega| = 2\pi\omega$ в интервале 100–1000 мин⁻¹ и приводом для оппозитного вращения барабанов $|\omega_1| = 2\pi\omega_1$ в интервале 150–1500 мин⁻¹ = 2.5–25 с⁻¹.

Как известно [4], относительная скорость \mathbf{W} соударения мелюющих тел в планетарной мельнице определяется выражением $|\mathbf{W}| = |\omega|R_1[(\kappa + 1)^2 + \Gamma^2 - 2\Gamma(\kappa - 1)\cos\varphi + (\Gamma + 1)^2]^{0.5}$

где R_1 – внутренний радиус барабана; $\kappa = \omega/\omega_1 = -1.5$ – кинематический фактор; $\Gamma = R/R_1$ – геометрический фактор; $\cos\varphi = -(1 + \kappa)/\Gamma$ определяет угол отрыва шара от стенки барабана.

В качестве механохимических реакторов выбраны две фурнитуры:

(i) барабан из нитрида кремния вместимостью 80 мл и такая же шаровая загрузка диаметром 1 см в количестве 30 шт. (твёрдость фурнитуры 9 по Моосу), внутренний радиус барабана $R_{1i} = 3.3$ см ($\Gamma_i = R/R_{1i} = 1.903$; $\cos\varphi = -(1 + \kappa)/\Gamma_i = 0.263$; $\sin\varphi = 0.965$; $|W_i| = W_i = 79.8\omega$, см/с;

(ii) стальной (95Х180) барабан (радиус $R_{1ii} = 4.0$ см; $\Gamma_{ii} = R/R_{1ii} = 1.57$; $\cos\varphi = -(1 + \kappa)/\Gamma_{ii} = 0.318$; $\sin\varphi = 0.948$; $|W_{ii}| = 86.4\omega$ [в см/с]) вместимостью 250 мл и стальная (ШХ15СГ) шаровая загрузка диаметром 0.67 см в количестве 117 шт. для обеспечения балансировки с барабаном из нитрида кремния. Например, при частоте вращения водила $\omega = 600$ мин⁻¹ = 10 с⁻¹ скорость соударения мелюющих тел в стальном барабане составит 864 см/с, а нормальная (n) и тангенциальная (t) составляющая \mathbf{W} будут равны $W_n = W\sin\varphi = 819$ см/с и $W_t = W\cos\varphi = 275$ см/с.

Расчеты позволяют говорить о преимущественно ударном характере МА в этой мельнице.

Для реализации реакции по стехиометрии $S(\text{тв.}) + Na_2SO_3(\text{тв.}) = Na_2S_2O_3(\text{тв.})$ сера (квалификация “ос. ч.”, ТУ 6-09-2546-77) и сульфит натрия (квалификация “х. ч.”, ГОСТ 195-77) взяты в количестве 0.36 и 1.4 г соответственно для реактора (i) и 0.72 и 2.8 г соответственно для реактора (ii).

Механоактивацию смесей проводили с охлаждением барабанов направленной на них

струей воды по следующей программе: 7 мин при частоте вращения планетарного диска 280 мин⁻¹ (обозначим как 7/280), далее 7/350, 14/420, 7/490, 7/420, 7/350. Общее время МА составило 56 мин. Такой выбор условий проведения МА обусловлен двумя причинами. Во-первых, при малых оборотах (7/280 и 7/350) имеет место предварительная гомогенизация, т. е. измельчение порошковой смеси без образования самофутеровки поверхности мелюющих тел обрабатываемым материалом. Во-вторых, с целью избежать плавления серы в процессе МА смеси использован только половинный ресурс мельницы по числу оборотов планетарного диска.

По завершении МА из барабанов в герметичные ампулы отбирали пробы и далее исследовали их методами титрования, рентгенофазового (РФА) и термического анализа (термогравиметрия, ТГ, и дифференциальная сканирующая калориметрия, ДСК).

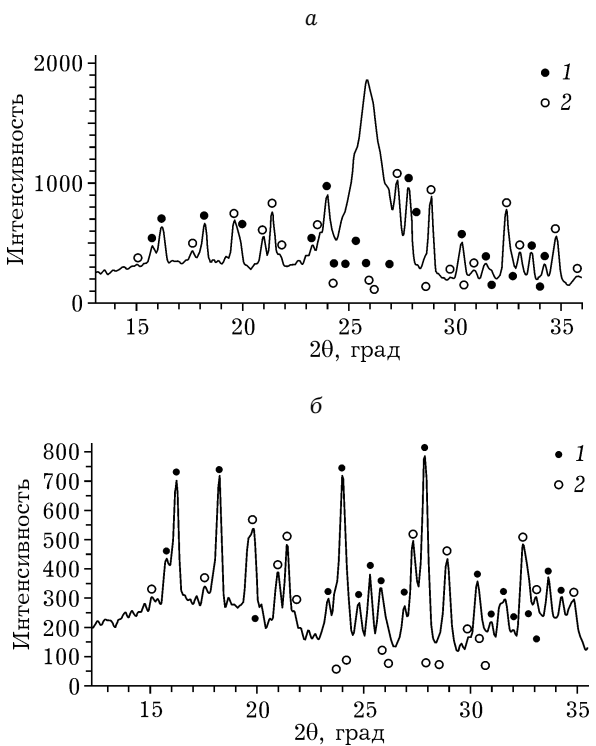


Рис. 1. Данные РФА механически активированного продукта из барабана (1) с защитной майларовой пленкой (а) и без нее (б): 1 – $Na_2S_2O_3 \cdot 2H_2O$ (JCPDS PDF number 00-036-0696); 2 – безводный $Na_2S_2O_3$ (JCPDS PDF number 01-076-2245). Маркеры под кривой РФА указывают на положение перекрытий или мало интенсивных линий эталонов.

РЕЗУЛЬТАТЫ И ОБСУЖДЕНИЕ

На рис. 1 приведены результаты РФА полученного МА продукта из реактора (i). Из-за высочайшей гигроскопичности безводного тиосульфата натрия процесс съемки данных РФА производился как с защитной майларовой (mylar) пленкой (см. рис. 1, а; майлар в интервале углов $2\theta = 24-27^\circ$ дает интенсивное гало), так и стандартным способом (см. рис. 1, б; имеет место существенное увеличение содержания дигидрата). Видно, что даже применение защиты не позволяет получить линии РФА только $\text{Na}_2\text{S}_2\text{O}_3$ (см. эталон JCPDS PDF number 01-076-2245), так как наблюдаются примерной такой же интенсивности и линии дигидрата $\text{Na}_2\text{S}_2\text{O}_3 \cdot 2\text{H}_2\text{O}$ (JCPDS PDF number 00-036-0696). Полученный результат известен и объясняется в работе [26]. Аналогичные данные РФА получены и для МА-продукта из реактора (ii). Очевидно, что в нем присутствует фаза целевого безводного тиосульфата натрия $\text{Na}_2\text{S}_2\text{O}_3$.

Эти данные подтверждаются также результатами термического анализа (рис. 2): кривые 1–3 соответствуют МА-образцам, полученным в реакторах (i) и (ii), а также осу-

щенному нами пентагидрату тиосульфата натрия из фиксанала. Оптимальные условия сушки пентагидрата до безводного тиосульфата натрия реализованы при его обработке в барабане обычной лабораторной вращающейся мельницы. Применялся проточный фарфоровый барабан вместимостью 300 см³ с загрузкой керамическими цильпебсами 350 г в количестве 46 шт. Обработка 20 г $\text{Na}_2\text{S}_2\text{O}_3 \cdot 5\text{H}_2\text{O}$ длилась в течение 3 ч при частоте вращения барабана 120 мин⁻¹ с нагревом его стенок до ~70 °C и в токе осущененного воздуха. По данным ТГ, в результате получен практически безводный тиосульфат натрия $\text{Na}_2\text{S}_2\text{O}_3$ (потеря массы составляет всего 1.41 %, см. рис. 2).

Из анализа кривых ТГ/ДСК следует, что речь идет об одном соединении – $\text{Na}_2\text{S}_2\text{O}_3$, но с разным содержанием кристаллизационной воды относительно подготовленного нами образца безводного тиосульфата натрия (1.41 %), см. также [26, 27]. Для образца из реактора (i) оно составляет 16.70 %, а для (ii) 11.87 % (см. рис. 2). При этом содержание воды в $\text{Na}_2\text{S}_2\text{O}_3 \cdot 5\text{H}_2\text{O}$ равно 36.3 %, а выше 450 °C имеет место и вторая стадия потери массы, связанная с разложением тиосульфата натрия [27].

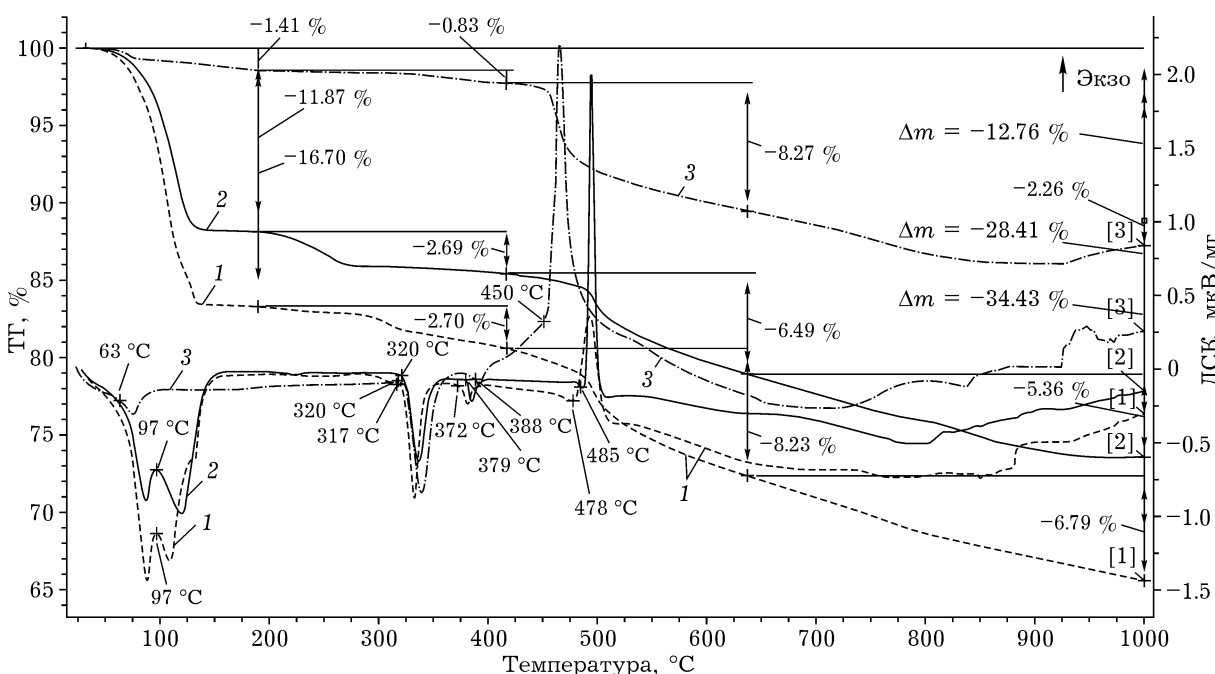


Рис. 2. Кривые ТГ и ДСК образцов твердых фаз: 1 – МА-продукт из барабана (i); 2 – МА-продукт из барабана (ii); 3 – безводный тиосульфат натрия (получен сушкой пентагидрата $\text{Na}_2\text{S}_2\text{O}_3 \cdot 5\text{H}_2\text{O}$ из фиксанала).

По гравиметрическим данным, полученным после растворения МА-образцов и последующей их кристаллизации, степень протекания твердофазной механохимической реакции $S + Na_2SO_3 \rightarrow Na_2S_2O_3$ в реакторах превышает 90 %: в реакторе (i) она составила 93.1 %, а в реакторе (ii) – 95.2 %. Определенное йодометрическим титрованием содержание $Na_2S_2O_3$ в растворах полученных МА-образцов твердых фаз составило не менее 96 %.

ЗАКЛЮЧЕНИЕ

Предложен новый метод получения безводного тиосульфата натрия реакцией элементной серы с сульфитом натрия в шаровой планетарной мельнице “Активатор-2SL” при частоте вращения водила не более 500 мин⁻¹ и продолжительности обработки не более 60 мин.

Работа поддержана ПЦФ РК (договор № 586 от 07.04.2015 г.) и РФФИ (проект № 15-05-03980A).

СПИСОК ЛИТЕРАТУРЫ

- 1 Kumar R., Nair K. K., Alam M. I., Gogoi R., Singh P. K., Srivastava C., Yadav S., Gopal M., Chaudhary S. R., Pradhan S., Goswami A. // Current Sci. 2011. Vol. 100, No. 10. P. 1542–1546.
- 2 La Mer V. K. // Ind. Eng. Chem. 1952. Vol. 44, No. 6. P. 1270–1277.
- 3 Urakaev F. Kh. // Int. J. Comp. Mater. Sci. Surf. Eng. 2011. Vol. 4, No. 1. P. 69–86.
- 4 Urakaev F. Kh. // Mendeleev Commun. 2005. Vol. 15, No. 3. P. 106–111.
- 5 Roy Choudhury S., Goswami A. // J. Appl. Microbiol. 2013. Vol. 114, No. 1. P. 1–10.
- 6 Suleiman M., Ali A. A., Hussein A., Hammouti B., Hadda T. B., Warad I. // J. Mater. Environ. Sci. 2013. Vol. 4, No. 6. P. 1029–1033.
- 7 Массалимов И. А., Хусаинов А. Н., Зайнитдинова Р. М., Мусавирова Л. Р., Зарипова Л. Р., Мустафин А. Г. // Журн. прикл. химии. 2014. Т. 87, № 6. С. 705–710.
- 8 Bura-Nakic E., Marguš M., Jurašin D., Milanović I., Ciglenečki- Jušić I. // Geochem. Transact. 2015. Vol. 16, No. 1. P. 1–9.
- 9 Suleiman M., Al-Masri M., Al Ali A., Aref D., Hussein A., Saadeddin I., Warad I. // J. Mater. Environ. Sci. 2015. Vol. 6, No 2. P. 513–518.
- 10 Hariz I. B., Ayni F. A., Monser L. // Water Sci. Technol. 2014. Vol. 70, No. 8. P. 1376–1382.
- 11 Reid M. L., Warren L. A. // J. Environ. Management. 2016. Vol. 166, January 15. P. 321–329.
- 12 Small C. C., Cho S., Hashisho Z., Ulrich A. C. // J. Petroleum Sci. Eng. 2015. Vol. 127, March 01. P. 490–501.
- 13 Andersson J. T. // Chemie in Unserer Zeit. 2005. Vol. 39, No. 2. P. 116–120.
- 14 Gangwal S. K. // Fuel Cells: Technologies for Fuel Processing. 2011. P. 317–360.
- 15 Pasel J., Peters R. // Fuel Cell Science and Engineering: Materials, Processes, Systems and Technology. 2012. Vol. 2, 26 April. P. 1011–1044.
- 16 Song C., Ma X. // Hydrogen and Syngas Production and Purification Technologies. 2009. 30 November. P. 219–310.
- 17 Соломин В. А., Бишимибаева Г. К., Ляпунов В. В., Жумабекова С. О., Джусисбеков У. Ж., Умбетова Ш. М., Джакметов Е. А. // Журн. прикл. химии. 2003. Т. 76, № 10. С. 1729–1731.
- 18 Бишимибаева Г. К., Умбетова Ш. М., Сартаев Д. Т. // Вестн. КазНТУ. Хим.-металл. науки. 2015. № 4 (110). С. 529–535.
- 19 Pat. US № 1854762, 1932.
- 20 Pat. US № 2412607, 1946.
- 21 Pat. US № 2763531, 1956.
- 22 Donaldson G. W., Johnston F. J. // J. Phys. Chem. 1969. Vol. 73, No. 6. P. 2064–2068.
- 23 Пат. SU 1284942, 1987.
- 24 Пат. SU 1279954, 1986.
- 25 Пат. SU 945065, 1982.
- 26 Edwards D. A., Woolf A. A. // Polyhedron. 1985. Vol. 4, No. 3. P. 513–516.
- 27 Sharma S. K., Jotshi C. K., Kumar S. // Thermochim. Acta. 1991. Vol. 184, No. 1. P. 9–23.
- 28 Пат. РФ 2151098, 2000.